



การศึกษาผลของสารละลายน้ำที่ใช้ในการเตรียมแผ่นไคโตแซนต์อสมบัติ การบวมน้ำและการผ่านของไอน้ำ

เมธารัตนากอร์พิตัก*, ชลธิชา เหล็กกล้า, ดวงเดือน จารุโคกกรวด, พิเชษฐ เชื้อเพง

Effects of Acid Solutions Used to Prepare Chitosan Films on Their Water Swelling Properties and Water Vapor Permeability

Metha Rutnakornpituk*, Chonticha Lekkla, Duangduan Chomkokekruad, and Pichet Chuapang

ภาควิชาเคมี คณะวิทยาศาสตร์ มหาวิทยาลัยนเรศวร จังหวัดพิษณุโลก 65000

Department of Chemistry, Faculty of Science, Naresuan University, Phitsanulok 65000, Thailand.

*Corresponding author. E-mail address: methar@nu.ac.th (M. Rutnakornpituk)

Received 12 July 2004; accepted 22 September 2004

บทคัดย่อ

งานวิจัยนี้เป็นการศึกษาสมบัติการบวมน้ำ (water swelling properties) สภาพพื้นผิวของแผ่นไคโตแซนท์อสมบัติ การบวมน้ำ และสมบัติการผ่านของไอน้ำ (water vapor permeability) ที่เตรียมในสารละลายน้ำที่ใช้ในการเตรียม ไคโตแซนท์อสมบัติ ที่มีอุณหภูมิ 25°C, 37°C และ 60°C แผ่นไคโตแซนท์อสมบัติที่เตรียมในสารละลายน้ำที่ใช้ในการเตรียม แสดงค่าความเข้มข้นต่างๆ กัน โดยการศึกษาสมบัติการบวมน้ำ ทำ การทดลองที่อุณหภูมิ 25°C, 37°C และ 60°C แผ่นไคโตแซนท์อสมบัติที่เตรียมในสารละลายน้ำที่ใช้ในการเตรียม และคิดค่ามีคุณสมบัติยืดหยุ่นดี เนียนนิยมและมีเปอร์เซ็นต์การบวมน้ำ ณ อุณหภูมิในสารละลายน้ำที่ใช้ในการเตรียม (PBS solution) สูงกว่าแผ่นตัวอย่างที่เตรียมในสารละลายน้ำที่ใช้ในการเตรียม ที่มีความเข้มข้นเดียวกัน การเพิ่มอุณหภูมิของไอน้ำที่ทำการทดลอง หรือการลดความเข้มข้นของสารละลายน้ำที่ใช้ในการเตรียม ตัวอย่าง มีผลทำให้เปอร์เซ็นต์การบวมน้ำ ณ อุณหภูมิ แนะนำเพิ่มขึ้น ภาพจาก Scanning Electron Microscopy (SEM) แสดงให้เห็นว่าพื้นผิวของแผ่นไคโตแซนท์อสมบัติที่เตรียมในสารละลายน้ำที่ใช้ในการเตรียมเปล่งเกิดขึ้นหลังจากแช่ในสารละลายน้ำที่ใช้ในการเตรียม (Phosphate Buffer Saline, PBS) เป็นเวลา 24 ชั่วโมง ขณะที่สภาพพื้นผิวของแผ่นไคโตแซนท์อสมบัติที่เตรียมในสารละลายน้ำที่ใช้ในการเตรียมลดลงต่ำลง ซึ่งแสดงถึงการกัดกร่อนของสารละลายน้ำส่วนบนพื้นผิวของแผ่นตัวอย่างแต่ไคโตแซนท์อสมบัติที่เตรียมในไนโตรเจนท์สูง (มากกว่า 2 กรัม/ลิตร/วัน) การเพิ่มความเข้มข้นของสารละลายน้ำที่ใช้ในการเตรียมแผ่นตัวอย่างยังมีผลให้ค่าการผ่านของไอน้ำเพิ่มมากขึ้นด้วย เมื่อเปรียบเทียบสมบัติการผ่านของไอน้ำเมื่อเตรียมแผ่นไคโตแซนท์อสมบัติที่ใช้ในการเตรียมในสารละลายน้ำที่มีความเข้มข้นเท่ากันพบว่า แผ่นตัวอย่างที่เตรียมในสารละลายน้ำที่ใช้ในการเตรียม แสดงค่าการผ่านของไอน้ำที่สูงกว่าตัวอย่างที่เตรียมในสารละลายน้ำที่ใช้ในการเตรียม

คำสำคัญ : ไคโตแซน, สมบัติการบวมน้ำ, สมบัติการผ่านของไอน้ำ

Abstract

Studies of water swelling properties, surface properties of chitosan films after swelling and their water vapor permeability prepared in aqueous acetic or lactic acid solutions are presented. Investigation of the percentage to water swelling was performed at room temperature (25°C), 37°C and 60°C. The chitosan films prepared in lactic acid solutions were obviously elastic and sticky, whereas the films prepared in acetic acid solutions were rigid and brittle. The percentage of water swelling at equilibrium of the films prepared in lactic acid solutions was higher than those prepared in acetic acid solutions at the same concentration. In addition, the percentage of water swelling at equilibrium tended to increase as the water temperatures increased or the acid concentrations decreased. As indicated in scanning electron micrograph, the films prepared in acetic acid solutions showed good stability after submerging in phosphate buffer saline solutions (PBS solutions) for 24 hours., whereas the films prepared in lactic acid solutions were partially soluble in the PBS solutions, particularly on their surface. The chitosan films prepared in any acid solutions or in any concentrations exhibited high water vapor permeability (more than 2 grams/liter/day) at room temperature. The chitosan films prepared in more concentrated acid solutions possessed better water vapor permeability. The films prepared in lactic acid solutions showed better water vapor permeability as compared to those prepared in acetic acid solutions at the same concentrations.

Keywords : chitosan, water swelling properties, water vapor permeability

บทนำ

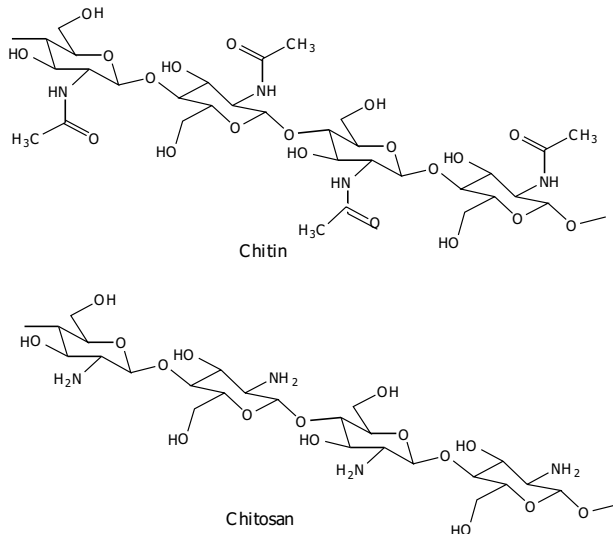
ไคตินเป็นผลิตภัณฑ์ธรรมชาติที่พบมากเป็นอันดับสองรองจากเซลลูโลส (Du et al., 2003) ไคตินทำหน้าที่เป็นโครงสร้างที่ป้องกันอันตรายและสร้างความแข็งแรงให้กับผนังเซลล์ของลิ่มมีชีวิต หรือเป็นเปลือกนอกของสัตว์จำพวก ปู กุ้ง และแคนหมี กองนี้เซลล์ของเห็ดราและสาหร่ายบางสายพันธุ์ ไคโตแซนเป็นอนุพันธ์ที่สำคัญของไคติน โดยเดรียมได้จากปฏิกิริยา Deacetylation ซึ่งเป็นการกำจัดหมู่อะซีติลของไคตินด้วยตัวเองเข้มข้นทำให้โครงสร้างและสมบัติทางเคมีของไคตินเปลี่ยนแปลงไป (Tojima et al., 1999; Tanodekaew et al., 2004) (รูปที่ 1)

ในปัจจุบัน ไคโตแซนเป็นที่รู้จักกันอย่างแพร่หลาย ทั้งในวงการเครื่องสำอาง สารอาหารควบคุมน้ำหนัก วงการแพทย์ และเภสัชกรรม (Wang et al., 2003; Hu et al., 2002) โดยเฉพาะอย่างยิ่งการนำไคโตแซนไปใช้เพื่อเป็นวัสดุทางการแพทย์กำลังได้รับความสนใจอย่างแพร่หลายในปัจจุบัน ทั้งนี้เนื่องจากมีงานวิจัยหลายฉบับรายงานว่าการใช้ไคโตแซนกับร่างกายมนุษย์แล้วไม่มีผลข้างเคียงและไม่เป็นพิษ (Kweon, 1998) ด้วยการใช้ประโยชน์ของไคโตแซนในการแพทย์ ได้แก่ ใช้เป็นเนื้อเยื่อเทียมรักษาแผล ช่วยในการเสริมสร้างกระดูก และฟัน ใช้เป็นวัสดุในการทำศัลยกรรม ใช้เป็นแผลปูดสำหรับยาและใช้เป็นสารลดไขมัน และคลอเลสเทอรอล (Robinson et al., 1992) โดยเฉพาะอย่างยิ่งการนำไคโตแซนมาใช้ในการทำเนื้อเยื่อปิดแผล (wound dressing materials) กำลังได้รับความสนใจอย่างมากในหมุนเวียน ในประเทศไทย โครงสร้างของไคโตแซนมีลักษณะเป็นเหมือนตาข่ายหล่อองฟองน้ำที่มีช่องว่างเล็กๆ จึงทำให้ไคโตแซนมีสมบัติในการดูดซับน้ำได้ดี ยอมให้อากาศผ่านได้ อีกทั้งไคโตแซนยังมีผลต่อการยับยั้งเชื้อราและแบคทีเรียบางชนิดได้เป็นอย่างดี นอกจากจะสามารถผลิตวัสดุทางการแพทย์ที่มีประสิทธิภาพแล้ว ยังสามารถลดต้นทุนการผลิตได้อย่างมาก รายงานวิจัยหลายฉบับรายงานการศึกษาการนำไคโตแซนเพื่อใช้เป็นวัสดุรักษาและตกแต่งแผล ทั้งในรูปของแผ่นฟิล์ม ฟองน้ำ เส้นใยและไฮโดรเจล (hydrogel) (Hirano, 1996) นอกจากนี้ยังพบว่า ไคโตแซนเป็นตัวเร่งกระบวนการรักษาแผล ยังสามารถดูดซับของเหลวจากแผลได้ และสามารถป้องกันแผลไม่ให้ติดเชื้อทำให้ลดการเกิดรอยแผล สาทิirthy (2544) เสนองานวิจัยในการนำแผ่นไคโตแซนมาใช้ปิดแผลผ่าตัดในโพรงมูกของผู้ป่วยโรคไซนัสอักเสบเรื้อรังและเบรียบเทียบผลกับการใช้ผ้าก๊อชที่เป็นแบบยาซุนวาร์สิน โดยทำการศึกษา กับผู้ป่วยจำนวน 32 ราย โดยแบ่งออกเป็น 2 กลุ่ม กลุ่มลงทะเบ่า กัน เบรียบเทียบในเรื่องของความเจ็บปวดแผลความรุนแรงของการสูญเสียเลือด ทั้งขณะที่ทำการปิดแผลและหลังจากการตัดผ้าที่ปิดแผลออก รวมทั้งศึกษาประสิทธิภาพในการรักษาบาดแผลด้วยผลการวิจัยพบว่า แผ่นไคโตแซนช่วยให้ผู้ป่วยมีความเจ็บปวดแผลน้อยกว่าการใช้ผ้าก๊อช นอกจากนี้การใช้แผ่นไคโตแซนยังช่วยลดความรุนแรงของการสูญเสียเลือดขณะตัดผ้าปิดแผลออกได้อย่างมาก แต่ไม่พบความแตกต่างในเรื่องของการสูญเสียเลือดขณะทำการปิดแผลและประสิทธิภาพในการรักษาบาดแผล

วัสดุที่ใช้ในการผลิตเป็นวัสดุปิดแผลในปัจจุบันส่วนมากเป็นพอลิเมอร์ประเภทโพลิยูริเทน ด้วย เช่น Cutinova Hydro® และ Omiderm® เตรียมจากโพลิยูริเทน IntraSite® เตรียมจาก carboxymethylcellulose และ propylene glycol Allevyn® เตรียมจาก polyether-polyurethane เป็นต้น วัสดุเหล่านี้มีคุณสมบัติที่ยึดหยุ่นดี สามารถและความชื้นสามารถผ่านเข้าและออกได้ด้วย สามารถป้องกันเชื้อโรคจากภายนอก และสามารถดูดซับของเหลวที่เกิดจากแผลได้ดี อย่างไรก็ตาม วัสดุเหล่านี้จะต้องน้ำเข้าจากต่างประเทศและมีราคาแพง โดยเฉพาะอย่างยิ่ง แผลที่ต้องใช้วัสดุเหล่านี้เพื่อใช้ในการรักษาส่วนใหญ่เป็นแผลที่มีพื้นที่กว้างและใช้เวลานานในการรักษา เช่นแผลน้ำร้อนลวกหรือแผลไฟไหม้ ดังนั้นทำให้ผู้ป่วยต้องเสียค่าใช้จ่ายสูงในการรักษา

ดังนั้น การศึกษาความเป็นไปได้ในการนำไคโตแซนมาใช้เป็นวัสดุรักษาแผลจึงได้รับความสนใจเป็นอย่างมาก อย่างไรก็ตาม ข้อจำกัดของการนำไคโตแซนไปใช้คือไคโตแซนไม่ละลายในตัวท่าละลายอินทรีย์ได้ ดังนั้นการเปลี่ยนแปลงโครงสร้างทางเคมีของไคโตแซนจึงทำได้อย่างมีข้อจำกัด ไคโตแซนสามารถละลายได้ในสารละลายกรดอินทรีย์ ดังนั้นในงานวิจัยฉบับนี้ เป็นการศึกษาผลของความเข้มข้นของกรดอะซิติก และกรดแอลกอฮอล์ที่มีต่อสมบัติการบวมน้ำ (water swelling properties) ที่อุณหภูมิต่างๆ และศึกษาการเปลี่ยนแปลง

สภาพพื้นผิวหลังจากการแช่แผ่นไคโตไซน์ในสารละลายนฟอสเฟตบัฟเฟอร์ชาลีน (Phosphate Buffer Saline solution, PBS solution) นอกจากนี้ยังทำการศึกษาสมบัติการผ่านของไอโอน้ำ (water vapor permeability) ณ อุณหภูมิห้องด้วยทั้งนี้เพื่อศึกษาความเป็นไปได้ในการนำไคโตไซน์มาใช้เป็นวัสดุปิดแผลที่ดีและมีราคาถูก



รูปที่ 1 โครงสร้างทางเคมีของไคตินและไคโตไซน์

วัสดุ อุปกรณ์ และวิธีการ สารเคมี

ในการทดลองนี้ใช้ไคโตไซน์ที่ผลิตจากเปลือกปูชนิดแบบเกล็ด จากบริษัท TMECO (Taming Enterprises Co., Ltd.) จังหวัดสุพรรณบุรี (Lot number: TPJ001/46, Batch number (B/N): 012/46) โดยมี degree of deacetylation เท่ากับ 96%, anhydrous CaCl_2 powder, 96% (Acros), lactic acid (Carlo Erba), acetic acid (Intellect Co., Ltd.), sodium hydroxide 50% w/v (Intellect Co., Ltd.), sodium chloride (Merck), Phosphate Buffer Saline (PBS) powder (Sigma) pH 7.4

วัสดุ อุปกรณ์

เครื่อง Scanning Electron Microscope (SEM) (LEO รุ่น 1455 VP) โดยในการเตรียมแผ่นตัวอย่างได้ทำการตัดตัวอย่างแผ่นไคโตไซน์ที่สะเทินแล้วขนาด 1 ซม x 1 ซม วางบนแท่นทองแดง ลดความดันในเครื่องจนถึงประมาณ 10^{-5} มิลลิบาร์ โดยใช้แร่เคลื่อนไฟฟ้าที่จ่ายให้ส่วนกำเนิดลำแสงอิเล็กตรอน 20 kV

วิธีการทดลอง

งานวิจัยนี้ศึกษาผลของชนิดและความเข้มข้นของสารละลายกรดที่ใช้ในการละลายไคโตไซน์โดยใช้กรดอะซิติกและกรดแลคติกที่มีความเข้มข้นต่างๆ ได้แก่ 0.5, 1.0 และ 2.0 มิลลาร์ และทำการศึกษาสมบัติการบูนห้ามที่อุณหภูมิห้อง 37°C และ 60°C และศึกษาการเปลี่ยนแปลงของสภาพพื้นผิวของแผ่นฟิล์มหลังจากการแช่ในสารละลายน PBS นอกจากนี้ยังศึกษาสมบัติการให้อิオンผ่านของแผ่นไคโตไซน์ด้วยการเตรียมแผ่นไคโตไซน์จากกรดอะซิติกเข้มข้น 0.5 มิลลาร์

ละลายน้ำได้โดยไม่ต้องใช้สารเคมีใดๆ แต่ต้องใช้สารเคมีที่มีฤทธิ์ละลายในน้ำ เช่น NaOH หรือ HCl เป็นต้น ผลลัพธ์คือไนโตรเจนที่หลุดรอดจะถูกดูดซึมเข้าไปในไนโตรเจนที่อยู่ในไนโตรเจนที่เหลืออยู่ ทำให้ไนโตรเจนที่เหลืออยู่ลดลง จึงสามารถวัดปริมาณไนโตรเจนที่ถูกดูดซึมได้โดยการวัดปริมาณไนโตรเจนที่หายใจออก

การศึกษาสมบัติการบวมน้ำ (water swelling properties)

การบวมน้ำของไนโตรเจนที่เหลืออยู่ในไนโตรเจนที่ถูกดูดซึมน้ำจะเพิ่มขึ้นเมื่อเพิ่มน้ำ แต่จะลดลงเมื่อหักน้ำ น้ำที่ใช้ในการบวมน้ำจะต้องสะอาดและปราศจากเชื้อรา จึงควรใช้น้ำดื่มที่ผ่านกรองแล้ว หรือน้ำอุ่นที่หุงต้มแล้ว

$$\text{อัตราการบวมน้ำ} = \frac{(W_s - W_d)}{W_d} \times 100 \quad (1)$$

เมื่อ W_d = น้ำหนักแห้งของไนโตรเจนที่เหลืออยู่ในไนโตรเจน (dry weight) (กรัม)

W_s = น้ำหนักหลังการบวมน้ำของไนโตรเจน (swelling weight) (กรัม)

ทำการทดลอง 3 ชั้นในแต่ละตัวอย่าง

การศึกษาสมบัติการผ่านของไนโตรเจน (water vapor permeability) (khan et al., 2000)

ใช้ anhydrous calcium chloride ในขวด vial ขนาด 20 ซม³ ปิดผนึกขวด vial ด้วยแผ่นไนโตรเจนที่สะอาดแล้วขนาดเส้นผ่าศูนย์กลาง 3 ซม เก็บขวดตัวอย่างใน desiccator ที่ควบคุมความชื้นที่ 75+3%RH โดยใช้สารละลาย NaCl อิ่มตัว ทำการทดลอง ณ อุณหภูมิห้องเป็นเวลา 14 วัน คำนวณหาอัตราการผ่านของไนโตรเจนที่สมดุลดังสมการ

$$\text{อัตราการผ่านของไนโตรเจนที่สมดุล} (\text{กรัม}/\text{วัน}/\text{ลิตร}) = [1,000 \times (T_f - T_i)] / 14v \quad (2)$$

เมื่อ T_i = น้ำหนักของ anhydrous CaCl₂ ก่อนทำการทดลอง (กรัม)

T_f = น้ำหนักของ CaCl₂ หลังจากทำการทดลอง 14 วัน (กรัม)

v = ปริมาตรของภาชนะ (22.62 ลูกบาศก์เซ็นติเมตร)

ทำการทดลอง 3 ชั้นในแต่ละตัวอย่าง

ผลการศึกษาและวิเคราะห์ผลการศึกษา

ผลการศึกษาแสดงว่าไนโตรเจนที่เหลืออยู่ในไนโตรเจนที่ถูกดูดซึมน้ำจะลดลงเมื่อเพิ่มน้ำ แต่จะเพิ่มขึ้นเมื่อหักน้ำ น้ำที่ใช้ในการบวมน้ำจะต้องสะอาดและปราศจากเชื้อรา จึงควรใช้น้ำดื่มที่ผ่านกรองแล้ว หรือน้ำอุ่นที่หุงต้มแล้ว

ผลการศึกษาแสดงว่าไนโตรเจนที่เหลืออยู่ในไนโตรเจนที่ถูกดูดซึมน้ำจะลดลงเมื่อเพิ่มน้ำ แต่จะเพิ่มขึ้นเมื่อหักน้ำ น้ำที่ใช้ในการบวมน้ำจะต้องสะอาดและปราศจากเชื้อรา จึงควรใช้น้ำดื่มที่ผ่านกรองแล้ว หรือน้ำอุ่นที่หุงต้มแล้ว

ที่เกิดจากบาดแผล จากการทดลองศึกษาผลของความเข้มข้นของกรดอะซิติกที่มีต่อสมบัติการบวนน้ำที่อุณหภูมิห้องพบร่วมกับการเตรียมแผ่นไคลโตแซนเมื่อใช้ความเข้มข้นของสารละลายนครดอะซิติกเป็น 0.5, 1.0 และ 2.0 มิลลิลิตร เปรียบเทียบต่อกำลังของสารละลายน้ำที่สภาวะสมดุลเมื่อค่าเท่ากับ 80, 75 และ 35% ตามลำดับ ซึ่งแสดงให้เห็นว่าค่าเบอร์เซ็นต์การบวนน้ำที่สมดุลเมื่อค่าลดลงเมื่อความเข้มข้นของสารละลายนครดอะซิติกเพิ่มมากขึ้น การเตรียมสารละลายน้ำไคลโตแซนโดยใช้ความเข้มข้นกรดอะซิติกที่น้อยกว่า 0.5 มิลลิลิตร พบร่วมกับไคลโตแซนละลายน้ำได้ไม่สมบูรณ์ และมีไคลโตแซนบางส่วนแยกอยู่ในสารละลายน้ำ ศึกษาผลของความเข้มข้นของสารละลายน้ำที่สมบัติการบวนน้ำที่อุณหภูมิ 37°C และ 60°C ได้ผลเช่นเดียวกัน นั่นคือค่าเบอร์เซ็นต์การบวนน้ำที่สมดุลเมื่อค่าลดลงเมื่อความเข้มข้นของสารละลายน้ำเพิ่มมากขึ้น (รูปที่ 2)

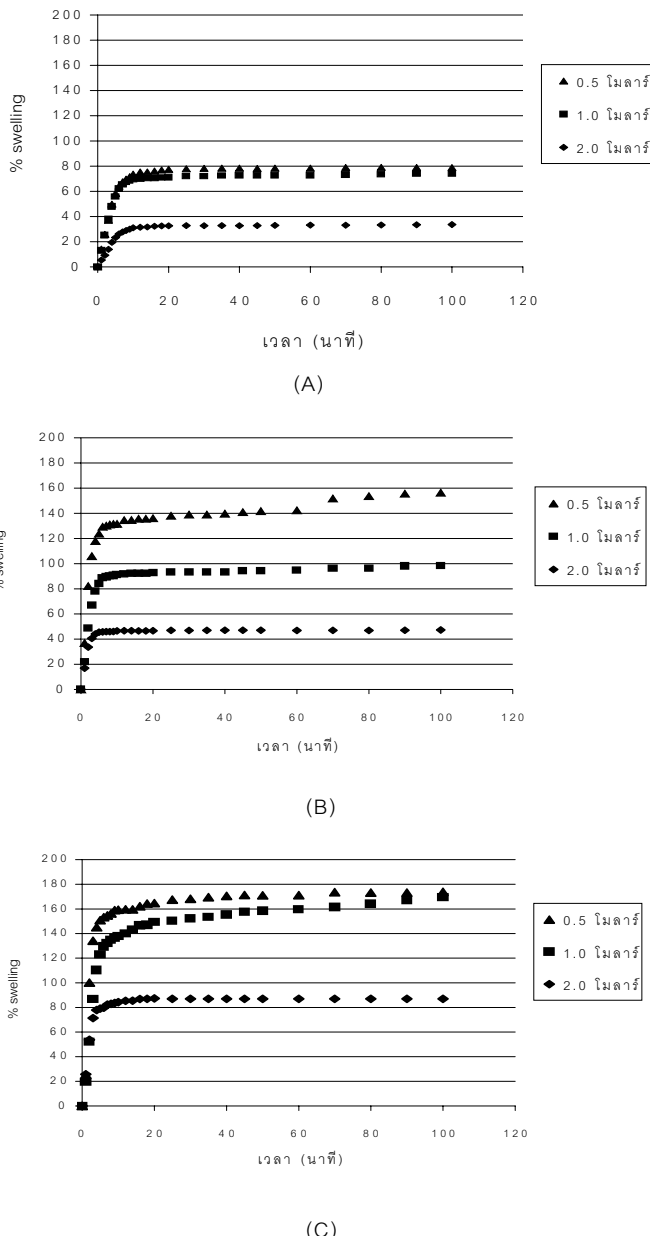
จากการทดลองรูปที่ 2 พบว่า แผ่นไคลโตแซนสามารถดูดซับน้ำได้รวดเร็วมากและเข้าสู่สมดุลได้ภายในเวลา 10 นาทีในทุกๆ ความเข้มข้นและทุกๆ อุณหภูมิที่ทดลอง ซึ่งเป็นสมบัติอย่างหนึ่งของไคลโตแซน การศึกษาผลของอุณหภูมิต่อสมบัติการบวนน้ำได้ทำการทดลอง ณ สามสภาพได้แก่ ณ อุณหภูมิห้อง 37°C และ 60°C ทั้งนี้เพื่อศึกษาสมบัติของแผ่นไคลโตแซนเมื่อนำไปใช้เป็นวัสดุปิดแผลภายนอกร่างกาย ณ อุณหภูมิห้อง และศึกษาสมบัติการบวนน้ำที่เปลี่ยนไปเมื่อนำไปใช้ภายในร่างกาย (37°C) และศึกษาแนวโน้มที่เปลี่ยนไปเมื่ออุณหภูมิสูงมากขึ้น (60°C) เมื่อพิจารณาผลของอุณหภูมิต่อสมบัติการบวนน้ำที่ความเข้มข้นเดียวกัน (รูปที่ 2A, 2B, 2C, เปรียบเทียบเงินสอง▲ ที่ความเข้มข้น 0.5 มิลลิลิตร, ■ ที่ความเข้มข้น 1.0 มิลลิลิตร และ ◆ ที่ความเข้มข้น 2.0 มิลลิลิตร) พบร่วมกับการบวนน้ำที่สมดุลเมื่อเพิ่มมากขึ้นเมื่ออุณหภูมิสูงขึ้น ทั้งนี้อาจเนื่องมาจากความร้อนมีผลให้โครงสร้างทاخ่ายของไคลโตแซนขยาย เกิดรูพรุนมากขึ้นและสามารถดูดซับของเหลวได้มากขึ้น

การศึกษาสภาพพื้นผิวของแผ่นไคลโตแซนทั้งก่อนและหลังการบวนน้ำโดยใช้เทคนิค Scanning Electron Microscopy (SEM) แสดงดังรูปที่ 3 สภาพพื้นผิวของแผ่นไคลโตแซนหลังการดูดซับน้ำได้จากแผ่นตัวอย่างที่แขวนในสารละลายน้ำ PBS เป็นเวลา 24 ชั่วโมง (ผ่านสมดุลการบวนน้ำแล้ว) นำมาทำให้แห้งโดยอบที่อุณหภูมิ 50°C ภายใต้ความดันต่ำเป็นเวลา 24 ชั่วโมง รูปที่ 3 เป็นตัวอย่างของพื้นผิวของแผ่นไคลโตแซนเมื่อเตรียมแผ่นตัวอย่างในสารละลายน้ำที่ความเข้มข้น 0.5 มิลลิลิตร ซึ่งพบร่วงสภาพพื้นผิวเมื่อ ก่อนการบวนน้ำ (รูป 3A) ไม่มีความแตกต่างกันอย่างมีนัยสำคัญเมื่อเปรียบเทียบกับพื้นผิวหลังการบวนน้ำ (รูป 3B) ลักษณะพื้นผิวของแผ่นไคลโตแซนเมื่อเตรียมที่ความเข้มข้นอื่นๆ ไม่พบความแตกต่างอย่างมีนัยสำคัญระหว่างก่อนและหลังการบวนน้ำเช่นเดียวกัน ซึ่งแสดงให้เห็นว่าพื้นผิวของแผ่นไคลโตแซนไม่ได้มีการเปลี่ยนแปลงหลังการบวนน้ำแผ่นไคลโตแซนไม่ได้ละลาย หลุดร่อนหรือแตกหักในสารละลายน้ำขณะทำการทดลอง ซึ่งเป็นข้อดีหากมีการนำแผ่นไคลโตแซนไปใช้เพื่อเป็นวัสดุปิดแผลจริง เนื่องจากแผ่นไคลโตแซนสามารถดูดซับของเหลวที่เกิดจากแผลแต่ไม่มีการแตกหักหรือการละลายของแผ่นไคลโตแซนขณะทำการรักษาแผล

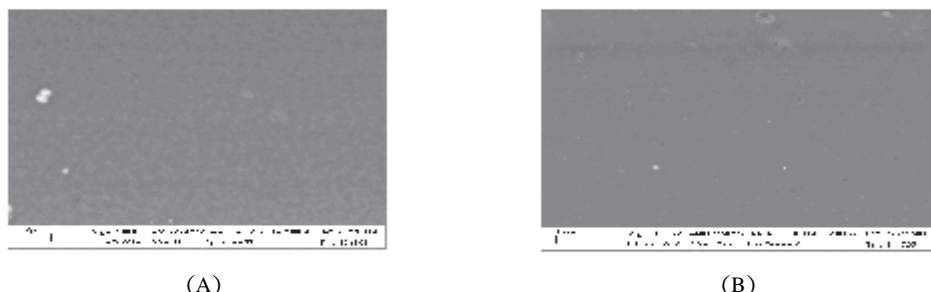
สมบัติการบวนน้ำของแผ่นไคลโตแซนที่เตรียมในสารละลายน้ำครดแลคติกเมื่อใช้ความเข้มข้น 0.5 และ 1.0 มิลลิลิตรโดยทำการทดลองที่อุณหภูมิห้องพบว่า สามารถทำการทดลองได้เพียง 2 นาทีแรกเท่านั้น เนื่องจากแผ่นไคลโตแซนมีลักษณะเหนียวมาก และติดกระดาษซับจนไม่สามารถทำการทดลองต่อได้ อย่างไรก็ตาม การทดลองใน 2 นาทีแรกพบว่าแผ่นไคลโตแซนที่เตรียมจากสารละลายน้ำครดแลคติกเข้มข้น 0.5 มิลลิลิตรสามารถบวนน้ำได้สูงถึง 280% และเมื่อเตรียมในสารละลายน้ำครดแลคติกเข้มข้น 1.0 มิลลิลิตรสามารถบวนน้ำได้ 75% ซึ่งในกรณีแรกนั้นค่าการบวนน้ำมีค่าต่ำกว่าซึ่งสูงเมื่อเทียบกับการบวนน้ำของแผ่นไคลโตแซนที่เตรียมในสารละลายน้ำครดอะซิติก แม้ว่าค่าเฉลี่ยไม่ได้เป็นค่าที่สมดุลการบวนน้ำก็ตาม ซึ่งผลการทดลองนี้แสดงให้เห็นว่า การใช้สารละลายน้ำครดแลคติกเป็นสารละลายน้ำในการเตรียมแผ่นไคลโตแซนอาจเป็นตัวเลือกที่ดี เนื่องจากให้ค่าการบวนน้ำที่ต่ำกว่าซึ่งสูง อย่างไรก็ตาม ความเหนียวของแผ่นวัสดุอาจเป็นอุปสรรคต่อการนำไปใช้ประโยชน์ได้

สภาพพื้นผิวของแผ่นไคลโตแซนเมื่อเตรียมในสารละลายน้ำครดแลคติกทั้งก่อนและหลังการทดสอบ

การบวมน้ำแสดงในรูปที่ 4 การเตรียมแผ่นทดสอบทำได้เช่นเดียวกับแผ่นไคโตแซนที่เตรียมในสารละลายกรดอะซิติก ผลการทดลองแตกต่างจากสภาพพื้นผิวของแผ่นไคโตแซนที่เตรียมจากการกรดอะซิติก กล่าวคือ สภาพพื้นผิวหลังการบวมน้ำมีลักษณะยุ่ย แสดงให้เห็นว่าแผ่นตัวอย่างนี้สามารถคงละลายในสารละลาย PBS ได้บางส่วน ซึ่งอาจเป็นสาเหตุที่ทำให้แผ่นตัวอย่างมีลักษณะเหนียวมาก



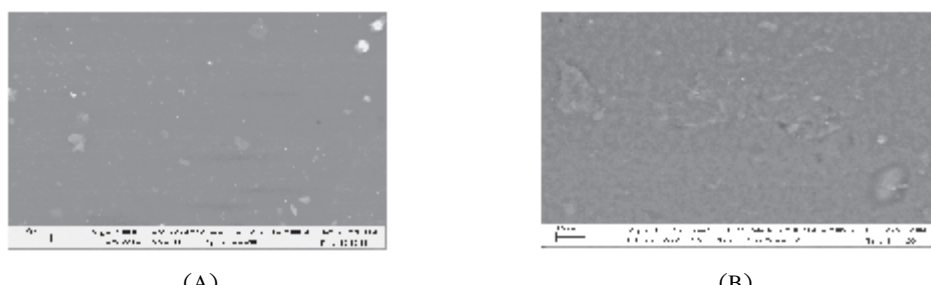
รูปที่ 2 เส้นโค้งแสดงจุดสมดุลการบวมน้ำของแผ่นไคโตแซนเตรียมด้วยสารละลายกรดอะซิติกเมื่อทำการทดลองที่ (A) อุณหภูมิห้อง (B) 37°C และ (C) 60°C .



(A)

(B)

รูปที่ 3 Scanning Electron Micrograph (SEM) แสดงสภาพทางพื้นผิวของแผ่นไคโตไซน์ที่เตรียมจากสารละลายน้ำดีติกที่ความเข้มข้น 0.5 ในลาร์ (A) ก่อนการบวมน้ำ (B) หลังการบวมน้ำ ทำการทดลองที่อุณหภูมิห้อง 37°C, และ 60°C.

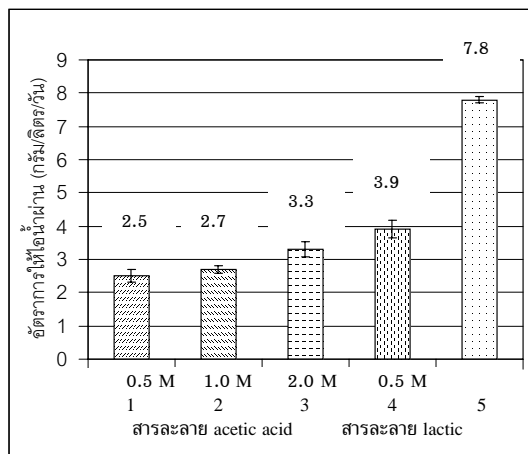


(A)

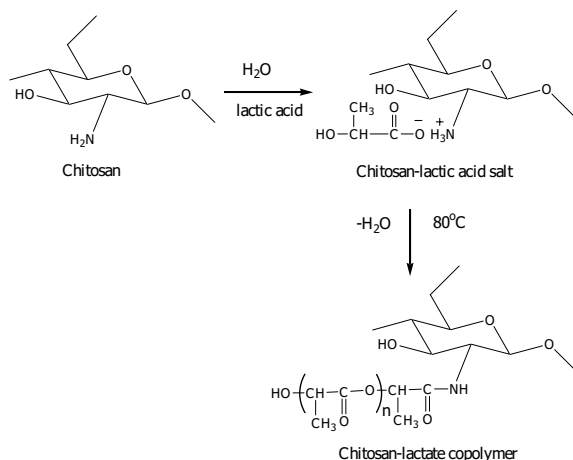
(B)

รูปที่ 4 Scanning Electron Micrograph (SEM) แสดงสภาพทางพื้นผิวของแผ่นไคโตไซน์ที่เตรียมจากสารละลายน้ำดีติกที่ความเข้มข้น 1.0 ในลาร์ (A) ก่อนการบวมน้ำ (B) หลังการบวมน้ำ ทำการทดลองที่ 37°C.

จากการศึกษาความสามารถในการผ่านของไอน้ำของแผ่นไคโตไซน์ที่เตรียมในสารละลายน้ำดีติก และกรดแลคติกที่ความเข้มข้นต่างๆ แสดงดังรูปที่ 5 แผ่นไคโตไซน์ทุกตัวอย่างมีค่าการผ่านของไอน้ำมากกว่า 2 กรัม/วัน/ลิตร ซึ่งเป็นค่าที่สูง (Khan et al., 2000) และแสดงว่าแผ่นตัวอย่างมีความเป็นรูพรุนค่อนข้างมาก เมื่อความเข้มข้นของสารละลายน้ำดีติกที่ใช้เตรียมแผ่นไคโตไซน์เพิ่มมากขึ้น ความสามารถในการผ่านของไอน้ำมีค่าเพิ่มขึ้น โดยที่แผ่นไคโตไซน์ที่เตรียมในสารละลายน้ำดีติกมีค่าสูงกว่าแผ่นไคโตไซน์ที่เตรียมในสารละลายน้ำดีติกที่ความเข้มข้นเดียวกัน ความมีรูพรุนในระดับโมเลกุลมากกว่าของแผ่นไคโตไซน์ที่เตรียมในสารละลายน้ำดีติก อาจเนื่องมาจากการเกิดโพลิเมอร์ร่วมแบบกิ่ง (graft copolymer) ระหว่างไคโตไซน์และกรดแลคติก อาจเป็นผลจากการเกิดโพลิเมอร์ร่วมแบบกิ่ง (graft copolymer) ระหว่างไคโตไซน์และกรดแลคติกโดยมีไคโตไซน์เป็นสายโซ่หลักและโพลิแลคเตฟเป็นโพลิเมอร์กิ่ง Albertsson ได้เสนอกลไกการเกิดปฏิกิริยานี้ดังรูปที่ 6 (Albertsson et al., 1999) ขั้นตอนแรกของการเกิดโพลิเมอร์ร่วมแบบกิ่งคือการเกิดเป็นเกลือ (salt) ระหว่างกรดแลคติก และหนู่เอมีนในไคโตไซน์ เมื่อโพลิเมอร์ได้รับความร้อนทำให้เกิดปฏิกิริยาการดึงน้ำออก (dehydration) เกิดเป็นพันธะเอไมด์ (amide linkage) หมุนไชครอกไซด์ (hydroxyl group) ของกรดแลคเตฟสามารถเกิดปฏิกิริยาต่อ กับกรดแลคติก โมเลกุลอื่น เพื่อเกิดเป็นโพลิเมอร์และเป็นสายโซ่ยาวมากขึ้น การมีแลคเตฟเป็นสายโซ่ยาวทำให้แผ่นไคโตไซน์เกิดรูพรุนในระดับโมเลกุลมากกว่า เมื่อเตรียมในสารละลายน้ำดีติกซึ่งมีผลทำให้สมบูรณ์การผ่านของไอน้ำมากกว่า



รูปที่ 5 ค่าอัตราการให้ออกน้ำผ่าน (water vapor permeability) ที่สมดุลของแผ่นไคโตแซน



รูปที่ 6 การเกิดพอลิเมอร์ร่วมของไคโตแซนและพอลิแลคเตต

สรุปผลการศึกษา

แผ่นไคโตแซนที่เตรียมจากสารละลายกรดอะซิติกมีความยืดหยุ่นและอ่อนนุ่มกว่าแผ่นไคโตแซนที่เตรียมจากสารละลายกรดอะซิติกเนื่อใช้ความเข้มข้นเดียวกัน การทดสอบสมบัติการบูรน้ำที่อุณหภูมิห้อง (25°C) 37°C และ 60°C พบว่าที่ความเข้มข้นคงที่ เปอร์เซ็นต์การบูรน้ำของแผ่นทดสอบเพิ่มขึ้น เมื่ออุณหภูมิเพิ่มขึ้น และเมื่อทำการเปรียบเทียบผลการทดสอบที่อุณหภูมิคงที่พบว่า เปอร์เซ็นต์การบูรน้ำลดลง เมื่อความเข้มข้นของสารละลายกรดที่ใช้เตรียมแผ่นไคโตแซนเพิ่มขึ้นโดยจะมีค่าเปอร์เซ็นต์การบูรน้ำสูงสุด ประมาณ 170% เมื่อเตรียมแผ่นไคโตแซนในกรดอะซิติกเข้มข้น 0.5 ไมลาร์และทำการทดสอบที่ 60°C แผ่นไคโตแซนที่เตรียมจากสารละลายกรดอะซิติกเกิดการแตกหักในระหว่างการทดสอบและไม่สามารถทดสอบค่าการบูรน้ำ ณ จุดสมดุลได้ ภาพจาก SEM แสดงให้เห็นว่าสภาพพื้นผิวของแผ่นไคโตแซนที่เตรียมใน

สารละลายน้ำซึ่งไม่เกิดการเปลี่ยนแปลงหลังการทดสอบการรวมน้ำ ขณะที่พื้นผิวของแผ่นไคล็อกเซนที่เตรียมในสารละลายน้ำแลคติกมีลักษณะยุ่ย แสดงถึงการละลายบางส่วนของแผ่นไคล็อกเซนบริเวณผิวน้ำ อัตราการผ่านของไอโอดีนของแผ่นทดสอบที่เตรียมจากสารละลายน้ำแลคติกมีค่าสูงกว่าแผ่นทดสอบที่เตรียมจากสารละลายน้ำซึ่งแสดงว่าแผ่นไคล็อกเซนที่เตรียมจากสารละลายน้ำแลคติกมีรูพรุนในระดับโมเลกุลมากกว่าแผ่นไคล็อกเซนที่เตรียมจากสารละลายน้ำซึ่งติดต่อ

กิตติกรรมประกาศ

คณบดีวิจัยขอขอบคุณสำนักงานกองทุนสนับสนุนการวิจัย (สกว.) สำหรับการสนับสนุนการทำวิจัยนี้

เอกสารอ้างอิง

- สถาบันฯ ชัยประสถิทกุล. (2544). เรื่องนำร่องไคล็อกเซน-ไคล็อกเซน. กรุงเทพฯ: ศูนย์เทคโนโลยีโลหะวัสดุแห่งชาติ.
- Hirano, S. (1996). Chitin biotechnology applications. *Biotechnology Annual Review*, 2, 237-258.
- Hu, Y., Jiang, X., Ding, Y., Ge, H., Yuan, Y., & Yang, C. (2002). Synthesis and characterization of chitosan-poly(acrylic acid) nanoparticles. *Biomaterials*, 23, 3193-3201.
- Khan, T. A., Peh, K. K., & Cheng, H.S. (2000). Mechanical, bioadhesive strength and biological evaluations of chitosan films for wound dressing, *Journal of Pharmacy and Pharmaceutical Sciences*. 3, 303-311.
- Kweon, D. K. (1998). Preparation and characteristics of chitosan-g-PDMS copolymer. *Polymer Bulletin*, 41, 645-651.
- Qu, X., Wirsén, A., & Albertsson, A. (1999). Structural change and swelling mechanism of pH-sensitive hydrogel based on chitosan and D,L-lactic acid. *Journal of Applied Polymer Science.*, 74, 3186-3192.
- Tanodekaew, S., Prasitsilp, M., Swasdison, S., Thavornyutikarn, B., Pothsree, T., & Pateepasen, R. (2004). Preparation of acrylic grafted chitin for wound dressing application. *Biomaterials*, 25, 1453-1460.
- Tojima, T., Katsura, H., Nishiki, M., Nishi, N., Tokura, S., & Sakairi, N. (1999). Chitosan beads with pendant α -cyclodextrin: Preparation and inclusion properties to nitrophenolates. *Carbohydrate Polymer*, 40, 17-22.
- Wang, J. W., & Hon, M. H. (2003). Preparation and characterization of pH sensitive sugar mediated (polyethylene glycol/chitosan) membrane. *Journal of Materials Science: Materials in Medicine*, 14, 1079-1088.
- Xu, Y., Du, Y., Huang, R., & Gao, L. (2003). Preparation and modification of N-(2-hydroxyl) propyl-3-trimethyl ammonium chitosan chloride nanoparticle as a protein carrier. *Biomaterials*, 24, 5015-5022.
- Yalpani, M., Johnson, F., & Robinson, L. E. (1992). *Chitin and chitosan: Sources, chemistry, biochemistry, physical properties and applications*. Amsterdam: Elsevier.

